

土木研究所河川研究室 正員 ○ 山口高志
鹿児島試験所 高橋晃

最近急激な水需要を補うため種々の水資源開発が進められている。その手段として、河口湖、河口堰による淡水貯留、塩水湖の淡水化などが考えられ種々の検討や計画が進められている。例えは有明海の大綿切堤計画なども、規模の雄大さにおいてその最たるものといえよう。

しかし、その淡水化過程についてはこれに影響を与える要素の数が多く、またその影響機構の複雑さゆえに、その推算を非常に困難なものにしているのが現状である。本論は、ある塩水湖の淡水化過程の推算にあたり、影響諸要素に検討を加えてこれまでの淡水化過程の推算を考慮されていないゲイトよりの淡塩排水比について実験を行って補足し、淡水化過程の計算を行った。もちろん諸要素の考慮については、不充分な点が多いが、あえてこゝに紹介して御批判を仰ぎ、今後共この改良につとめたいと思ってい。

1. 淡水化過程に影響を及ぼす諸要素(1), (2)の検討

図-1に示すように、主な要素としては、①流域よりの淡水流入量、②湖面蒸発量、③締切堤体よりの塩水浸透量、④風、波等による躍層より上層への混入量、⑤図-2に示すようなゲイトよりの淡塩排水比、⑥湖内維持水位差が挙げられる。これらについて以下のような検討を加えた。

①、② 淡水流入量は、文献(3)によつたが、現在考へている淡水化過程の精度および湖面積が非常に大きいことを考慮し、10年間の流水量より日平均流量($591 \text{ m}^3/\text{s}$)を求め、湖面蒸発量と湖面降水量をキャンセルして用ひることにした($Q_f = 519 \text{ m}^3/\text{s}$)。③ 堤高に比して堤体厚が充分大きいことから、Darcy則を用いて一次元的な二層浸透流として計算できることを実験により確かめた。また潮汐による非定常である効果があまりないことは、文献(4)で確かめられている。計算には、透水係数 10 cm/s 程度と考えた場合の $30 \text{ m}^3/\text{s}$ と、その5倍の $150 \text{ m}^3/\text{s}$ を使用した。④ 種々の擾乱(風による吹送流、波、洪水の流入等)による境界面よりの塩水の混合については、Keulegan, 岸、椎原らの研究があるが、まだ实用に適するまでには到つてない。そこで今回は湖面より適当な水深(混合水深または影響水深 H_{mix})をとり、この層内では流入淡水は完全に混合することにした。この H_{mix} としては、岸(5)が求めた实用公式 $H = 5 \log V - 1$ (V : 風速(m/s)、 H : 風速 V によって影響を受ける水深(m))と風速資料を参考に、 $H_{mix,0} = 4 \text{ m}$ および 5 m を採用了。⑤ 水深が大きい湖の淡水化とはかる場合、ゲイトを用いてなるべく下層にある塩水の効率よい排除を考え

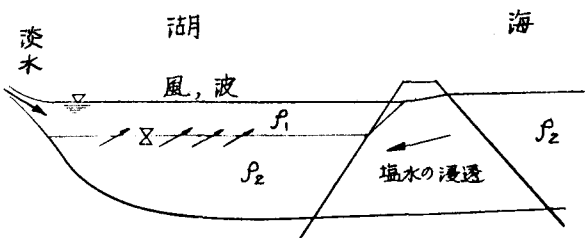


図-1 淡水化過程の模式図

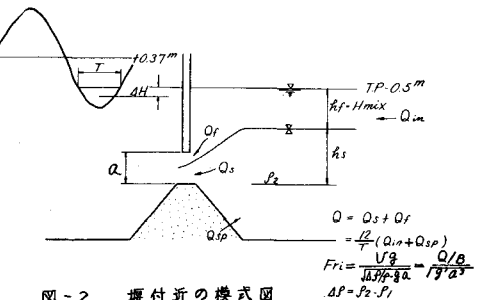


図-2 堰付近の模式図

るのは当然なのであるが、これまでの推算例では、いずれも考慮されていない。しかも塩分の排余が水門よりしかなされないことを考えるとこの塩分の排出量を推定することはもつとも重要なことと思われる。そこでこの実験については、実験により換算を加えることにした。実験設備を図-9に示す。実験方法としては、図-2にも示すように、淡海水流量を湖内に分散管より静かに流入させ、長時間流下させて滞留したときの界面高さと測定するという方式を採用した。実験の種類は、淡海水流入量比、ゲート開度および淡海水比差（3種、0.004, 0.01, 0.03）を変えて、41 case 行った。淡海水躍層ができるという仮定を含めて種々問題があると思われるが、この実験は目をつぶることにした。

実験結果を Harleman ら(6) の換算排水の整理にならって $h_s/a \sim Fri$ によって整理したところ、
換算 Q_s/Q をパラメータにして整理できた。（図-3, 4）。

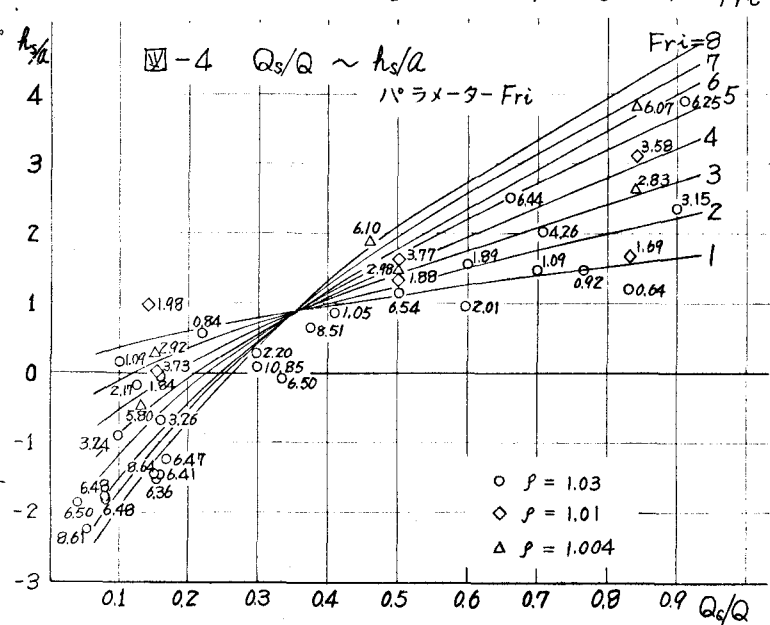
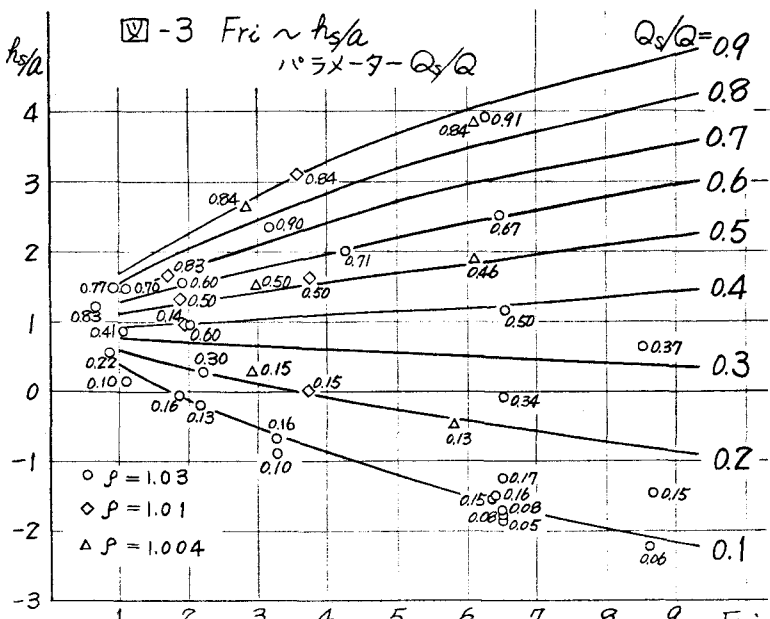
⑥ 本計算の場合、湖内水位を -0.5 m に維持するという制約条件があつたため、図-2に示すように潮位が湖内水位より低くなる時間 (T) およびその間の平均水位差 (ΔH) が小さかつたために、流入量を排水するのがやっとであり、図-3, 4等を用いて堰の最適操作を行ふといつたことはできなかつた。加えて淡水化の進行とともに湖内ヘッドが減少し、これ以上淡水比が進まないという事態も生じた。

2. 淡水化過程の計算法

1) 湖内ヘッドを計算し（例えは界面がゲート最高より高い場合 $h_T = 1.03 h_s + p_f / \rho g H_{max}$ ），これより T , ΔH , $Q_{out} = (Q_{in} + Q_{sp}) \times (1/2/T)$ およびゲートの流量係数 C_g , a 等を求める。

2) h_s/a , Fri を算出し、図-3等より Q_s/Q を求めろ。

3) 水門より排泄される下層塩水量は $(Q_{in} + Q_{sp})(Q_s/Q) \Delta t$ であるから、界面低下量 (Δh_s) はこれから塩水浸透量 (Q_{spat})



を差引いたものを、その水深での湖内面積で割れば求まる。

f)上層密度は、前後の量に $\gamma-1$ および ρ_f を付し、 V_{mix} を混合水深内の全体積とすると、 $\rho_r = (\text{全重量})_r / (\text{全体積})_r$ であるから、

$$\rho_r = \frac{\rho_{r-1} \{ V_{mix} \gamma - 1 + Q_{in} \}}{V_{mix} \gamma - 1}$$

$$- (Q_f/Q)_{r-1} (Q_{in} + Q_{sp}) \Delta t \} + \rho_r Q_{in} \Delta t \\ - (Q_f/Q)_R (Q_{in} + Q_{sp}) \Delta t + Q_{in} \Delta t$$

表-1 淡水化の計算条件一覧表

条件	case	1	2	3	4	5	6	7
湖内水位	m	-0.50	-0.50	-0.50	-0.50	-0.50	-0.50	-0.50
ゲート敷高	T.P.-10		-7	-10	-10	-10	-7	-10
ゲート巾	m	500	700	500	500	500	700	500
塩水浸透量	m^3/s	30	30	150	30	30	150	0
初期混合水深	m	4	4	4	5	4	4	4
流入淡水量	m^3/s	519	519	519	519	419	519	519
備考						取水 $100m^3/s$		

として来る。そして次のstepの計算を行う。

なお上のモデル中、 Q_{sp} は下層へ、 Q_{in} は上層へ流入させている。また一つの問題としては、 H_{mix} が徐々に増加することであろう。

3. 計算および結果について。
計算は、種々要素の効果を見るために、表-1のように、Case-1の各項を少しずつ変化させるという形で、7 caseについて行った。 Δt としては1日、計算はすべて電子計算機(TO SBAC 3400)によった。

この他、淡水化期間中に台風のような大きな擾乱があった場合を想定し、岸辺の方法を用いて下層塩水を上層に混入させ、淡水化過程のおくれを推算した(Case 1-1, Case 1-2), (計算に必要な界面での濃度分布としては、小櫃川の結果(図-8)を参考に危険側に推定)。

結果については、図-5, 6を参照されたい。例えば上層濃度が $1/10$ になった時まで、200日程度の差があること、界面位置に最も影響が大きいのはゲート敷高、塩水浸透量などで

図-5 上層密度の時間的変化

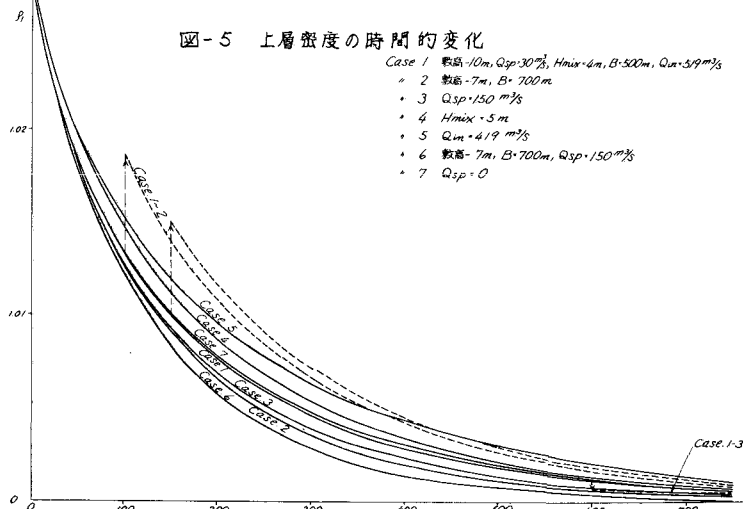
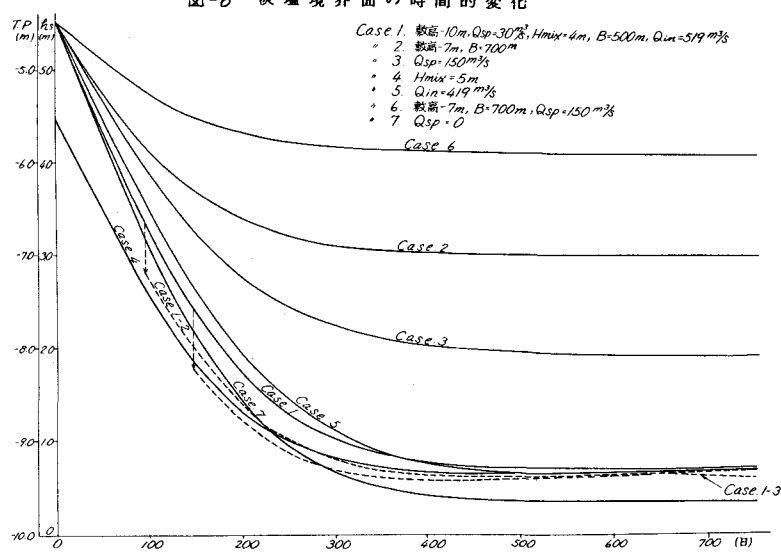


図-6 淡塩界面の時間的変化



あることがわかる。また台風の影響は100日程度残るとなっている。

参考までに Q_s/Q の時間変化を

図-7に示したが、例えは流入量

が小さい場合 (Case-5), α が小さくすむため Q_s/Q は大きいが、

やはり淡水化に要する時間は下の

一群の中で最もかかっている。

おわりに、本計算のプログラム作製については河川研究室本間久枝技官に、図の作製等については本間久枝、難波憲一技官におかれました。こゝで感謝の意を表したい。

参考文献

- (1) 文部省調査委員会編 河口湖渠にともなう水理学的検討、土木学会誌 Vol. 51, No. 9
- (2) 南 勤、河口湖淡水化。
- (3) 木下武雄、有明海流入量調査報告、土木研究所資料 No. 262 S. 42. 3
- (4) 坂本忠彦、有明海締切堤防調査報告付属資料4、土木研究所資料 No. 442, S. 44. 3
- (5) 岸 力、加藤正道、河口二層流の安定に関する研究(風による二層流の混合) S. 41. 3
- (6) D.R. Harleman & others, Submerged Sluice Control of Stratified Flow, Proc. A.S.C.E. HY2 1958.
- (7) 岸 力、加藤正道、二層流の風による混合に関する研究、第14回海岸工学講演会 S. 42.

この他淡水化過程の計算例として、有明海地域統合開発協議会その他「有明海地域統合開発調査結果の概要」S. 41. 3、京大奥田博士の児島湾、中海での計算がある。

図-8 モデル池の観測値

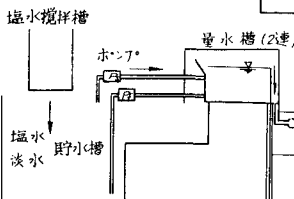
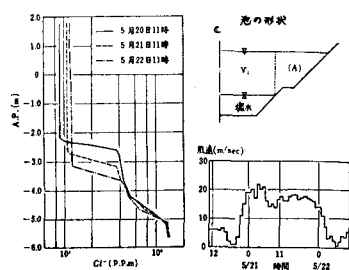


図-9 実験施設図

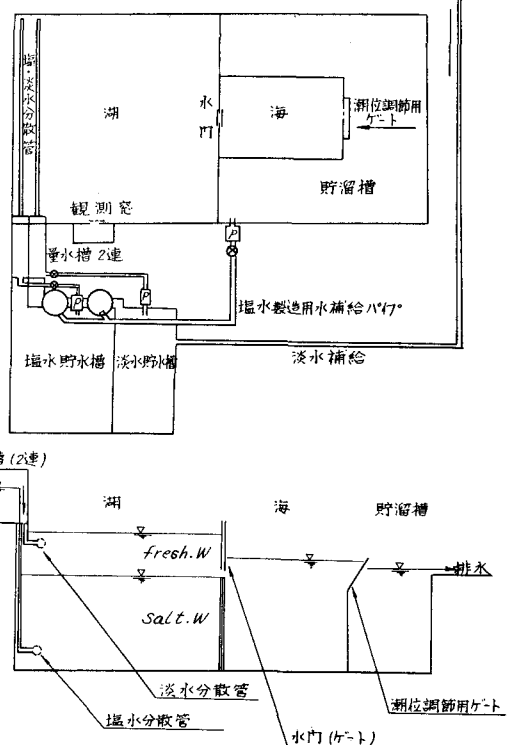


図-7 Q_s/Q の時間的変化

- Case 1. 敷高-10m, $Q_{sp}=30\text{m}^3/\text{s}$, $H_{min}=4\text{m}$
B=500m, $Q_{in}=519\text{m}^3/\text{s}$
- 2 敷高-7m, B=700m
- 3 $Q_{sp}=150\text{m}^3/\text{s}$
- 4 $H_{mix}=5\text{m}$
- 5 $Q_{in}=419\text{m}^3/\text{s}$
- 6 敷高-7m, B=700m, $Q_{sp}=150\text{m}^3/\text{s}$
- 7 $Q_{sp}=0$